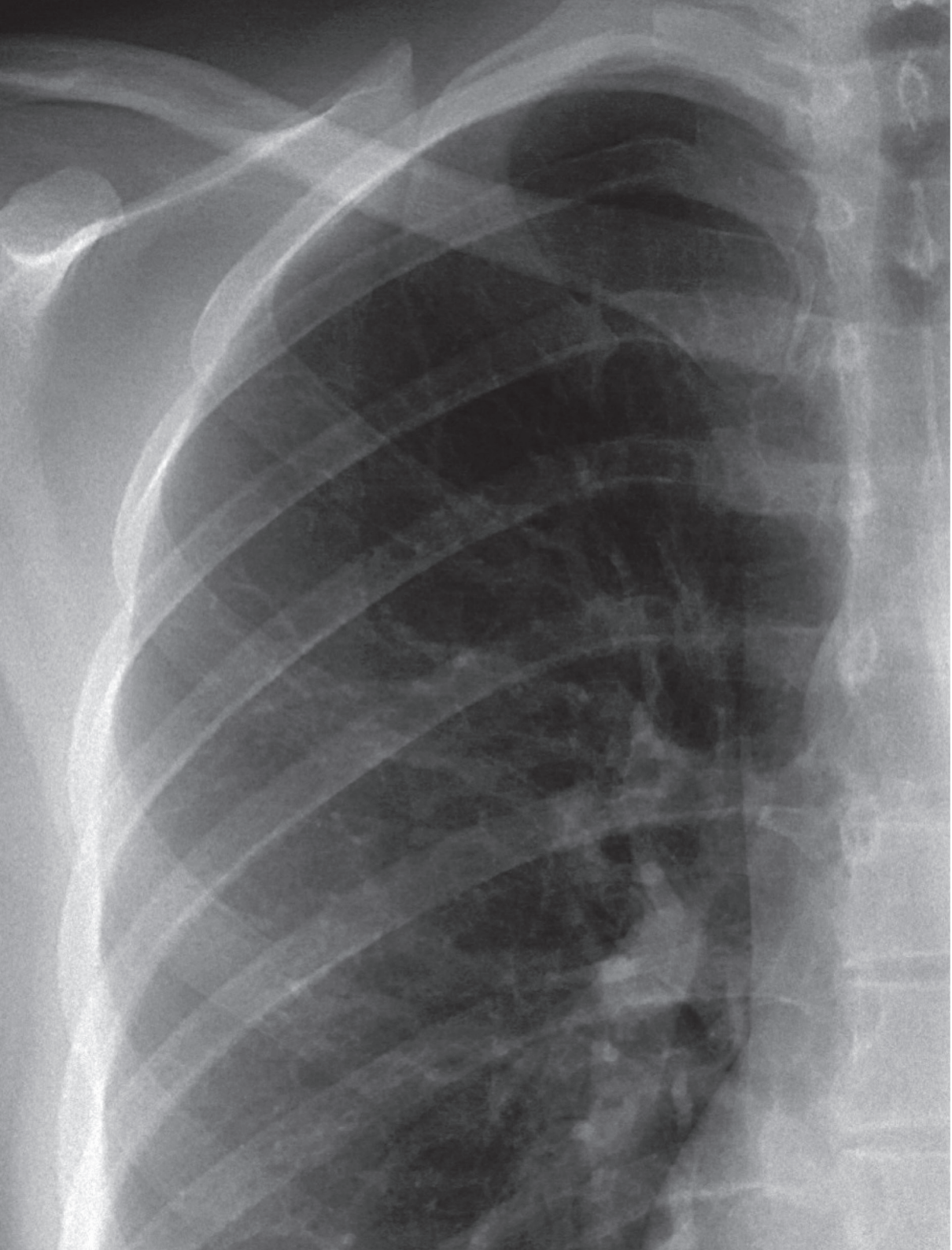


Anatomia Radiográfica

Guia de Atividades Práticas

Emily Thalia Teixeira da Silva
Renato Massaharu Hassunuma
Patrícia Carvalho Garcia
Sandra Heloísa Nunes Messias

canal6 editora



Anatomia Radiográfica

Guia de Atividades Práticas

Emily Thalia Teixeira da Silva

Aluna de Graduação do Curso de Biomedicina
Universidade Paulista – UNIP
Campus Bauru

Renato Massaharu Hassunuma

Professor Titular do Curso de Biomedicina
Universidade Paulista – UNIP
Campus Bauru

Patrícia Carvalho Garcia

Coordenadora Auxiliar do Curso de Biomedicina
Universidade Paulista – UNIP
Campus Bauru

Sandra Heloísa Nunes Messias

Coordenadora Geral do Curso de Biomedicina
Universidade Paulista – UNIP

canal6 editora

1ª Edição / 2020
Bauru, SP

© Renato Massaharu Hassunuma.

Conselho Editorial

BIOMÉDICO MARCELO BELINASI ESCAÑUELA SERPA

Especialista em Acupuntura pelo Centro de Estudos de Terapias Naturais - CETN, unidade Bauru.

PROFA. DRA. MICHELE JANEGITZ ACORCI-VALÉRIO

Professora Titular da Universidade Paulista – UNIP, campus Bauru.

PROFA. MA. TATIANE TARGINO GOMES DRAGHI

Mestra em Fisioterapia e Desempenho Funcional pela Universidade Federal de São Carlos - UFSCar.

Capa e Design

Renato Massaharu Hassunuma

Crédito da figura da capa, contracapa e páginas capitulares

Incidência posteroanterior do tórax. Fonte: Häggström M. File: Normal posteroanterior (PA) chest radiograph (X-ray).jpg [Internet]. 2017 jun 28 [acesso 2019 jul 22]. Disponível em: [https://commons.wikimedia.org/wiki/File:Normal_posteroanterior_\(PA\)_chest_radiograph_\(X-ray\).jpg](https://commons.wikimedia.org/wiki/File:Normal_posteroanterior_(PA)_chest_radiograph_(X-ray).jpg). Figura registrada como domínio público.

CIP – Brasil. Catalogação na Publicação

S5861a

Anatomia radiográfica - Guia de atividades práticas / Emily Thalia Teixeira da Silva, Renato Massaharu Hassunuma, Patrícia Carvalho Garcia e Sandra Heloísa Nunes Messias. - Bauru: Canal 6 Editora, 2020.

Inclui bibliografia

53 f. : il. pb.

ISBN: 978-65-86030-01-3

1. Anatomia. 2. Radiografia. 3. Materiais de ensino. I. Silva, Emily Thalia Teixeira da. II. Hassunuma, Renato Massaharu. III. Garcia, Patrícia Carvalho. IV. Messias, Sandra Heloísa Nunes. V. Título

CDU: 616-073.5

Sumário

Apresentação	09
Figura 1 - Incidência anteroposterior do crânio	13
Figura 2 - Incidência lateral do crânio	14
Figura 3 - Incidência panorâmica dos dentes	15
Figura 4 - Incidência anteroposterior da coluna cervical	16
Figura 5 - Incidência lateral das vértebras lombares	17
Figura 6 - Incidência posteroanterior do tórax	18
Figura 7 - Incidência posteroanterior de ombro esquerdo	19
Figura 8 - Incidência anteroposterior do ombro esquerdo	20
Figura 9 - Incidência lateral de cotovelo esquerdo	21
Figura 10 - Incidência anteroposterior de cotovelo direito	22
Figura 11 - Incidência oblíqua do cotovelo direito	23
Figura 12 - Incidência dorsoplantar da mão esquerda	24
Figura 13 - Incidência lateral da mão esquerda	25
Figura 14 - Incidência oblíqua da mão esquerda	26
Figura 15 - Incidência dorsoplantar do pulso esquerdo	27
Figura 16 - Incidência lateral do pulso esquerdo	28
Figura 17 - Incidência anteroposterior da pelve	29
Figura 18 - Incidência anteroposterior do fêmur esquerdo	30
Figura 19 - Incidência anteroposterior do joelho direito	31
Figura 20 - Incidência lateral do joelho esquerdo	32
Figura 21 - Incidência tangencial da patela	33
Figura 22 - Incidência lateral do tornozelo direito	34
Figura 23 - Incidência anteroposterior do tornozelo esquerdo	35
Figura 24 - Incidência lateral do pé direito	36
Figura 25 - Incidência dorsoplantar do pé direito	37
Figura 26 - Incidência oblíqua do pé direito	38
Créditos das imagens	41
Referências e sugestões de leitura	49

Apresentação

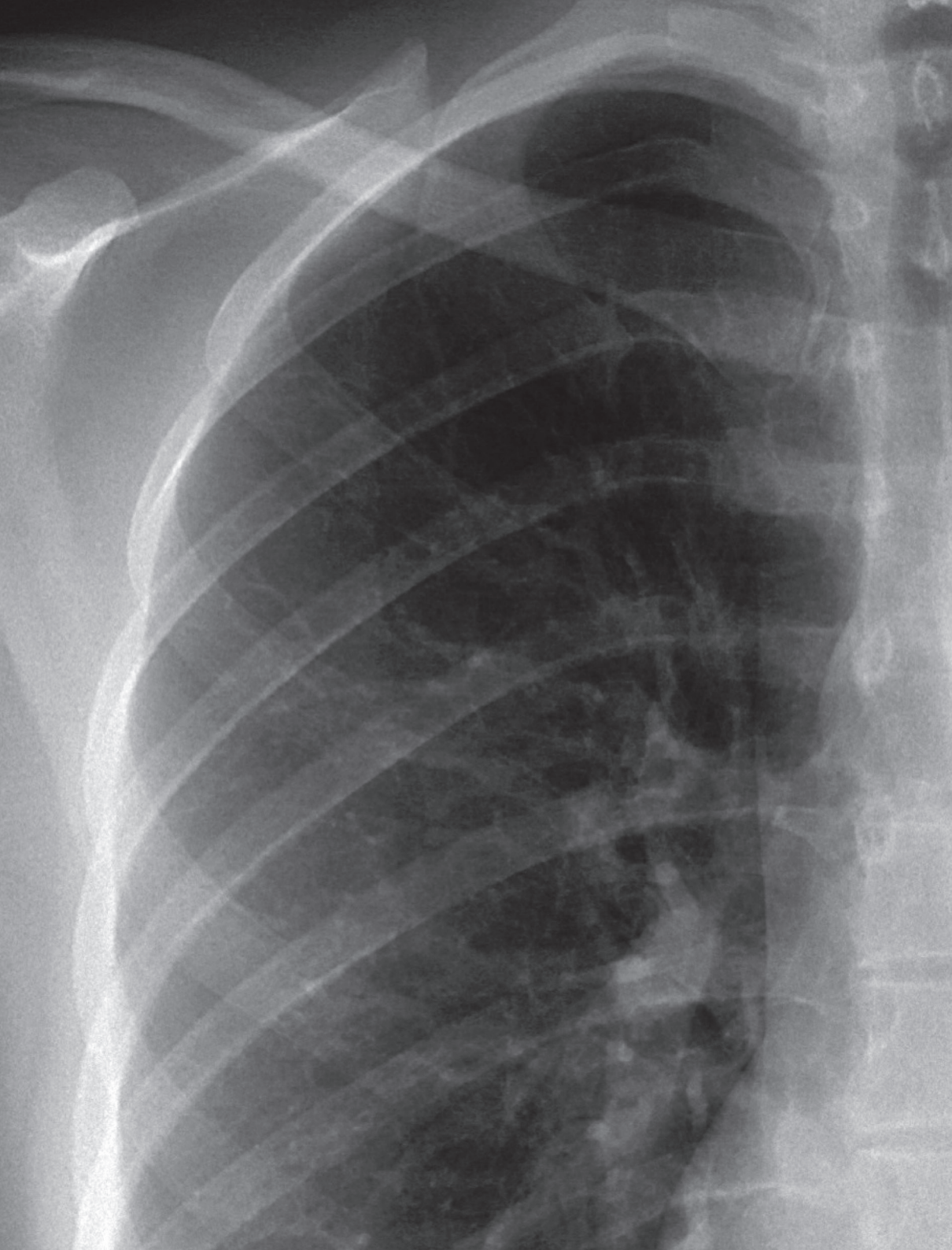
Este livro foi produzido pela aluna de Graduação em Biomedicina Emily Thalia Teixeira da Silva e professores do Curso de Biomedicina da Universidade Paulista – UNIP.

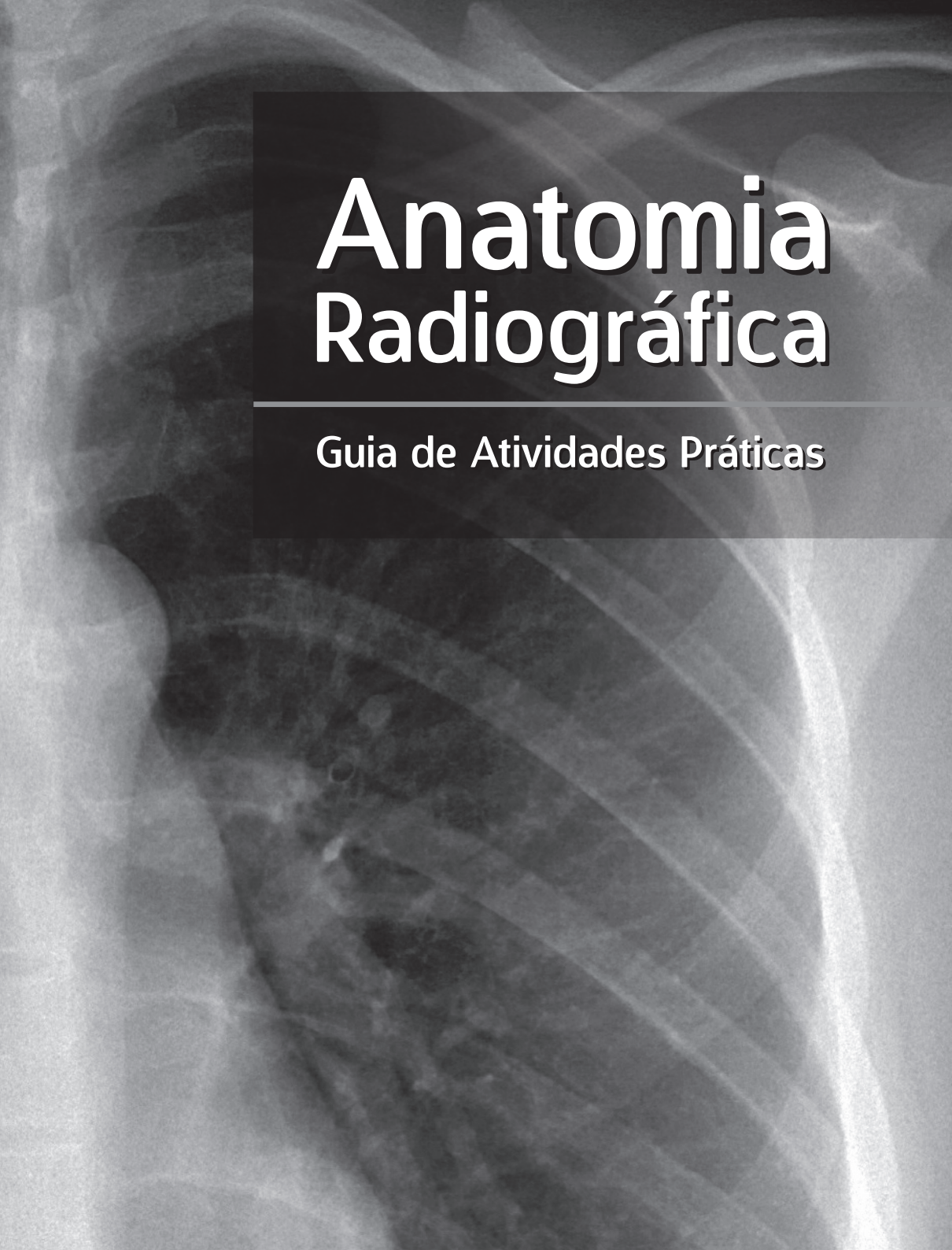
Este material tem como objetivo auxiliar no ensino de Anatomia Humana, utilizando imagens radiográficas para relembrar as principais estruturas anatômicas estudadas em aulas práticas.

Durante o desenvolvimento destas atividades, houve muita reflexão para que este produto pudesse realmente ajudar alunos e professores em aulas práticas e teóricas de diferentes níveis de ensino. Foi um material desenvolvido com muito carinho e afincado por todos os envolvidos.

Esperamos que você, leitor, tenha uma aprendizagem muito didática e interativa, utilizando este livro como um guia de atividades para localizar as partes do esqueleto humano propostas, no intuito de facilitar a memorização de diferentes estruturas anatômicas.

*Emily Thalia Teixeira da Silva,
Prof. Dr. Renato Massaharu Hassunuma,
Profa. Dra. Patrícia Carvalho Garcia e
Profa. Dra. Sandra Heloísa Nunes Messias.*

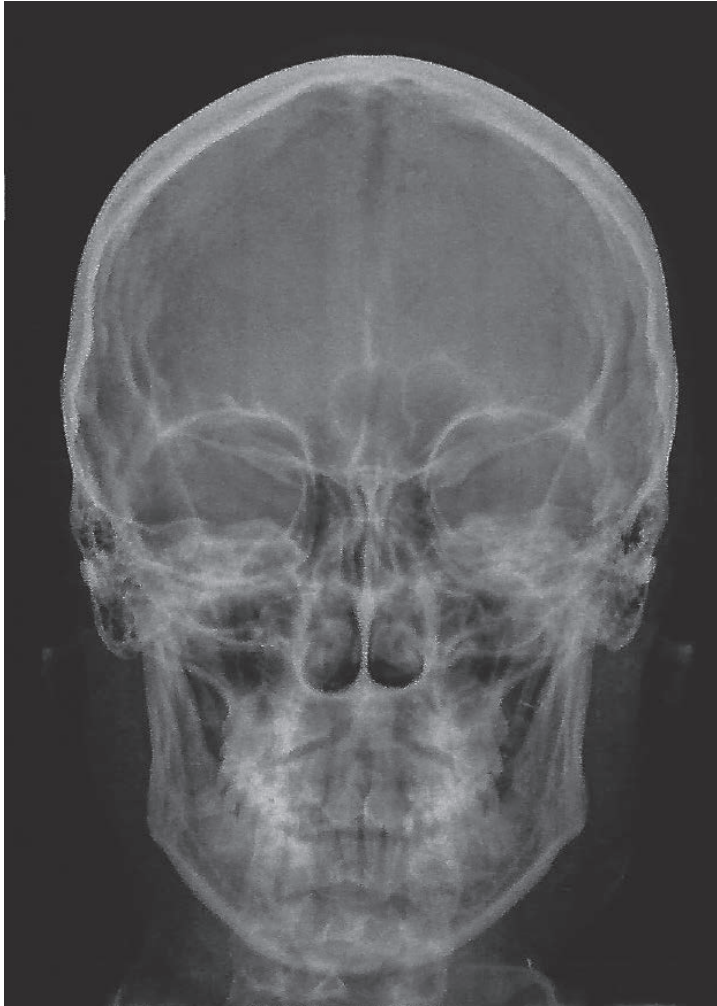




Anatomia Radiográfica

Guia de Atividades Práticas

Figura 1 - Incidência anteroposterior do crânio.



Localize as seguintes estruturas anatômicas:

Osso frontal | Osso parietal | Osso temporal | Osso zigomático |
Maxila | Mandíbula: corpo, ramo, côndilo, ângulo | Órbita | Osso nasal
| Cavidade nasal | Septo nasal | Cavidade bucal | Seio frontal | Seios
maxilares | Dentes superiores e inferiores | Vértebras cervicais |
Tecidos moles

Figura 2 - Incidência lateral do crânio.



Localize as seguintes estruturas anatômicas:

Osso frontal | Osso parietal | Osso temporal | Osso zigomático | Osso occipital | Osso lacrimal | Maxila | Mandíbula: corpo, ramo, côndilo, processo coronoide, ângulo | Osso palatino | Osso esfenóide | Sela túrcica | Dentes superiores e inferiores | Vértices cervicais | Articulação temporomandibular | Sutura sagital | Sutura coronal | Órbita | Cavidade nasal | Cavidade bucal | Seio frontal | Tecidos moles

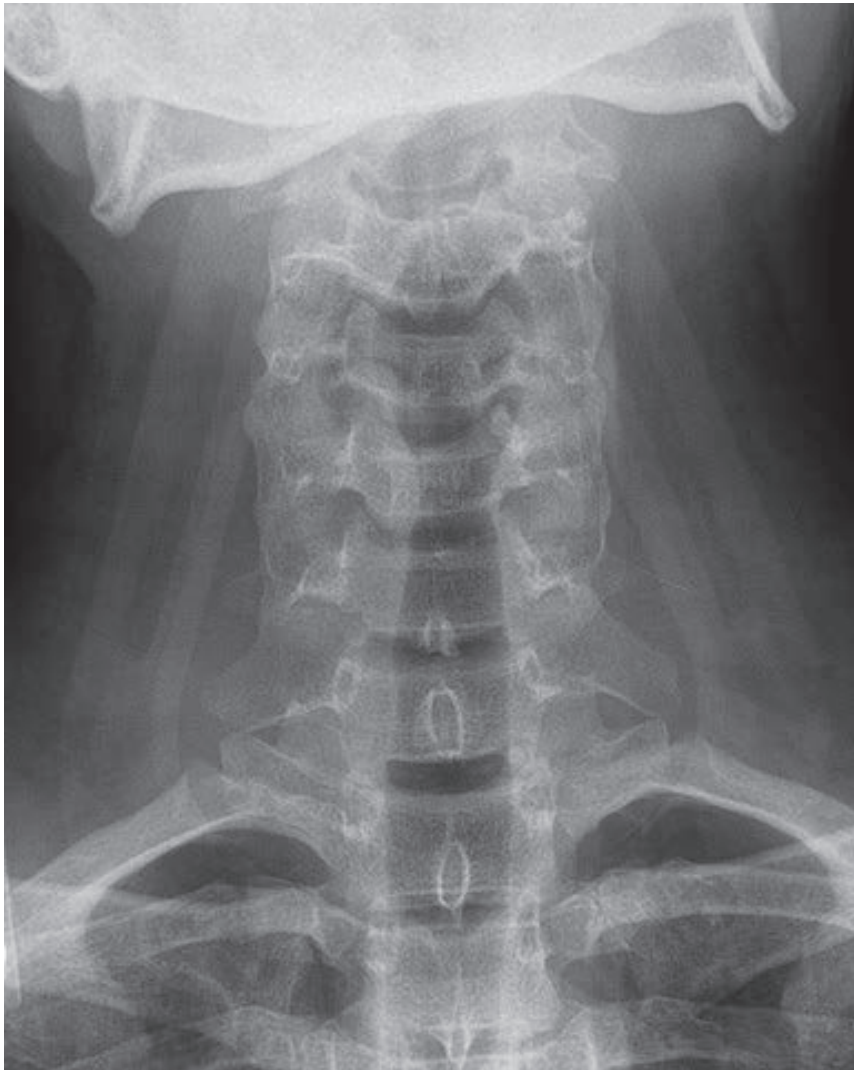
Figura 3 - Incidência panorâmica dos dentes.



Localize as seguintes estruturas anatômicas:

Maxila | Mandíbula: corpo, ramo, processo condilar, processo coronoide, ângulo | Dentes: incisivos centrais superiores e inferiores; incisivos laterais superiores e inferiores; caninos superiores e inferiores; primeiros pré-molares superiores e inferiores; segundos pré-molares superiores e inferiores; primeiros, segundos e terceiros molares superiores e inferiores | Estruturas dentárias: coroas, raízes e canais radiculares | Articulação temporomandibular | Cavidade nasal | Cavidade bucal | Tecidos moles

Figura 4 - Incidência anteroposterior da coluna cervical.



Localize as seguintes estruturas anatômicas:

Mandíbula | Vértebras cervicais e torácicas: corpo, processos transversos e processo espinhoso | Clavícula | Costelas verdadeiras | Escápula | Tecidos moles

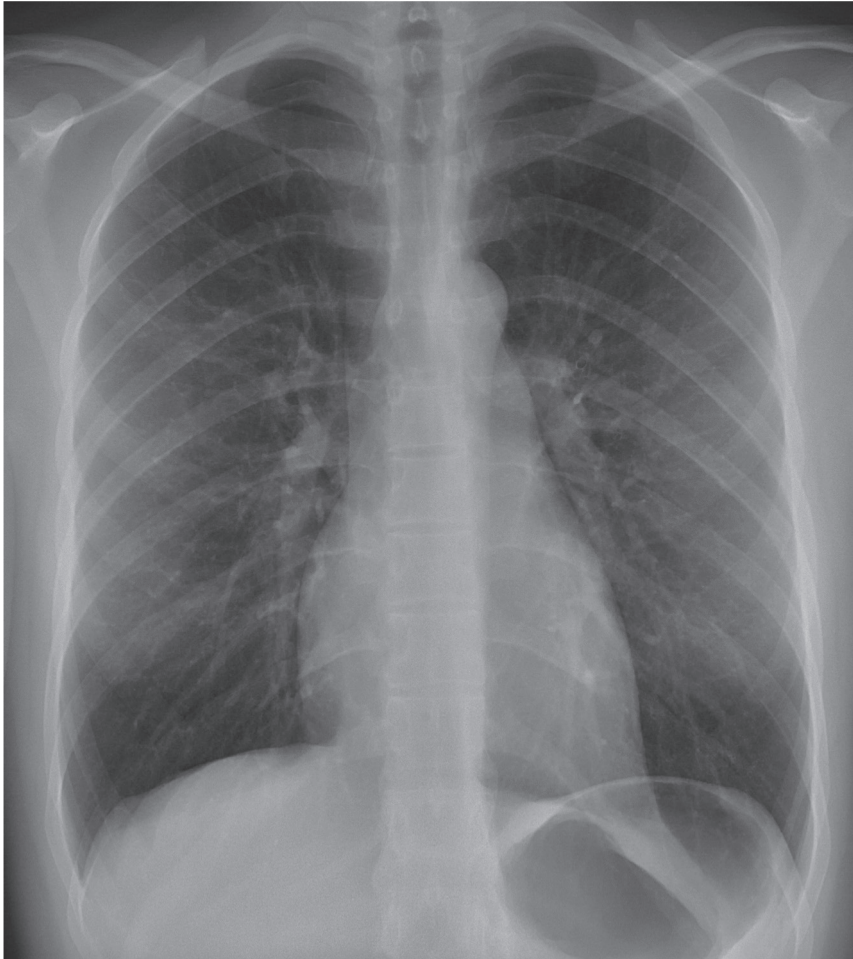
Figura 5 - Incidência lateral das vértebras lombares.



Localize as seguintes estruturas anatômicas:

Vértebras lombares: corpo vertebral, processo transverso, processo espinhoso | Cartilagens costais | Tecidos moles

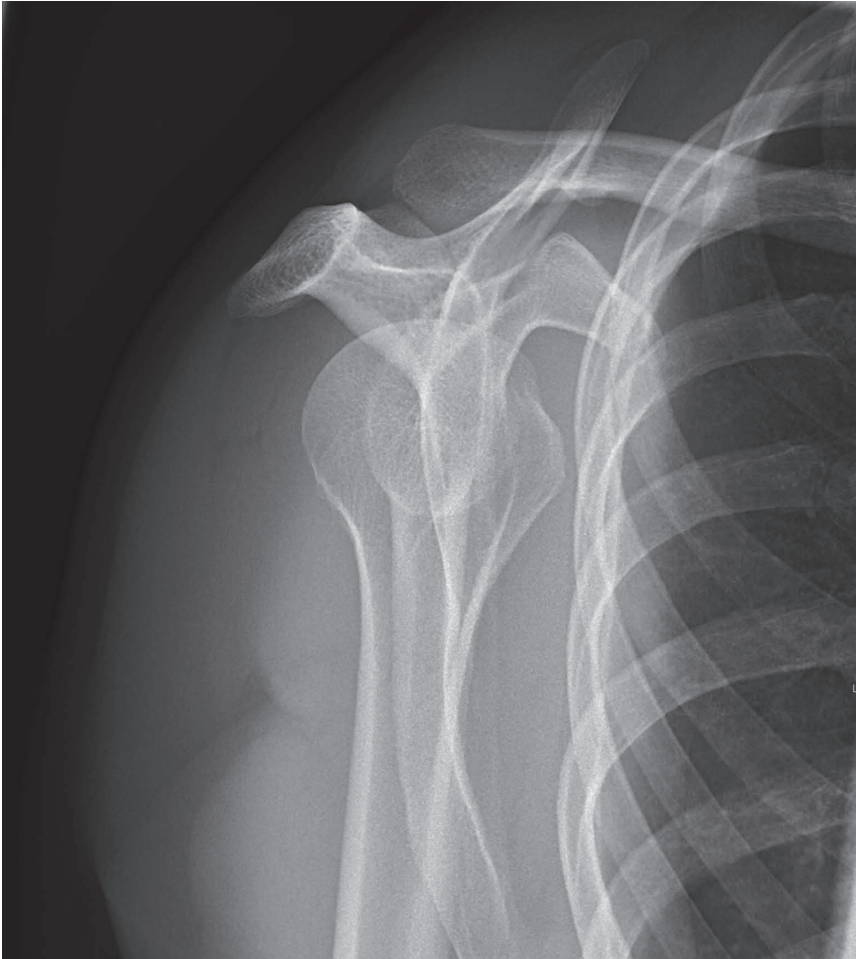
Figura 6 - Incidência posteroanterior do tórax.



Localize as seguintes estruturas anatômicas:

Vértebras torácicas | Clavícula | Escápula | Costelas | Pulmões direito e esquerdo | Coração | Estômago | Cartilagens costais | Espaços intercostais | Tecidos moles

Figura 7 - Incidência posteroanterior de ombro esquerdo.



Localize as seguintes estruturas anatômicas:

Cintura escapular | Escápula: acrômio, processo coracoide | Costelas verdadeiras | Úmero: cabeça, tubérculo maior, tubérculo menor, colo anatômico, colo cirúrgico, corpo do úmero | Tecidos moles

Figura 8 - Incidência anteroposterior de ombro esquerdo.



Localize as seguintes estruturas anatômicas:

Cintura escapular | Escápula: acrômio, processo coracoide, cavidade glenoidal, colo, tubérculo infraglenoidal, margem lateral | Costelas verdadeiras | Clavícula | Úmero: cabeça, tubérculo maior, tubérculo menor, colo anatômico, colo cirúrgico, corpo do úmero | Tecidos moles

Figura 9 - Incidência lateral de cotovelo esquerdo.



Localize as seguintes estruturas anatômicas:

Úmero: corpo | Rádio: cabeça, colo, tuberosidade, borda anterior, borda interóssea | Ulna: incisura troclear, olecrano, corpo, processo coronoide, tuberosidade da ulna | Tecidos moles

Figura 10 - Incidência anteroposterior de cotovelo direito.



Localize as seguintes estruturas anatômicas:

Úmero: corpo, crista supracondilar lateral, fossa radial, fossa coronoidea, epicôndilo lateral, epicôndilo medial, capítulo, tróclea | Rádio: cabeça, corpo, colo do rádio, tuberosidade | Ulna: corpo, processo coronoide, olécrano, tuberosidade | Tecidos moles

Figura 11 - Incidência oblíqua do cotovelo direito.



Localize as seguintes estruturas anatômicas:

Úmero: corpo, crista supracondilar lateral, fossa radial, fossa coronoidea, epicôndilo lateral, epicôndilo medial, capítulo, tróclea |

Rádio: cabeça, corpo, colo, tuberosidade | Ulna: corpo, incisura troclear, processo coronoide, olécrano, tuberosidade | Tecidos moles

Figura 12 - Incidência dorsoplantar da mão esquerda.



Localize as seguintes estruturas anatômicas:

Falanges: distais, médias e proximais (base, corpo e cabeça) |
Metacarpos | Ossos do carpo: piramidal, escafoide, semilunar,
pisiforme, hamato, capitato, trapézio, trapezoide | Rádio: face anterior,
face articular, processo estiloide | Ulna: cabeça, processo estiloide |
Ossos sesamoides | Tecidos moles

Figura 13 - Incidência lateral da mão esquerda.



Localize as seguintes estruturas anatômicas:

Falanges: distais, médias e proximais | Ossos do metacarpo e carpo |
Rádio | Ulna | Ossos sesamoides | Tecidos moles

Figura 14 - Incidência oblíqua da mão esquerda.



Localize as seguintes estruturas anatômicas:

Falanges: distais, médias e proximais | Ossos do metacarpo e carpo |
Rádio: face articular, processo estiloide | Ulna: cabeça, processo
estiloide | Ossos sesamoides | Tecidos moles

Figura 15 - Incidência dorsoplantar do pulso esquerdo.



Localize as seguintes estruturas anatômicas:

Metacarpos | Ossos do carpo: piramidal, escafoide, semilunar, pisiforme, hamato, capitato, trapézio, trapezoide | Rádio: corpo, face anterior, face articular, processo estiloide | Ulna: cabeça, corpo, processo estiloide | Tecidos moles

Figura 16 - Incidência lateral do pulso esquerdo.



Localize as seguintes estruturas anatômicas:

Ossos do metacarpo e carpo | Rádio | Ulna | Tecidos moles

Figura 17 - Incidência anteroposterior da pelve.



Localize as seguintes estruturas anatômicas:

Vértebras lombares | Sacro | Ílio: crista ilíaca, espinha ilíaca posterossuperior, espinha ilíaca anterossuperior, acetábulo, sínfise púbica, forame obturado | Púbis | Ísquio | Fêmur: cabeça, colo, trocânter maior, trocânter menor, linha intertrocantérica, epífise proximal | Tecidos moles

Figura 18 - Incidência anteroposterior do fêmur esquerdo.



Localize as seguintes estruturas anatômicas:

Ísquio: acetábulo, forame obturado | Fêmur: cabeça (epífise), corpo (diáfise), colo, trocânter maior, trocânter menor, linha intertrocantérica, epífise proximal | Tecidos moles

Figura 19 - Incidência anteroposterior do joelho direito.



Localize as seguintes estruturas anatômicas:

Fêmur: epífise distal, face patelar, côndilo medial, côndilo lateral, epicôndilo lateral, epicôndilo medial | Patela | Tíbia: côndilo medial, côndilo lateral, tuberosidade | Fíbula: cabeça da fíbula, ápice da cabeça, colo | Tecidos moles

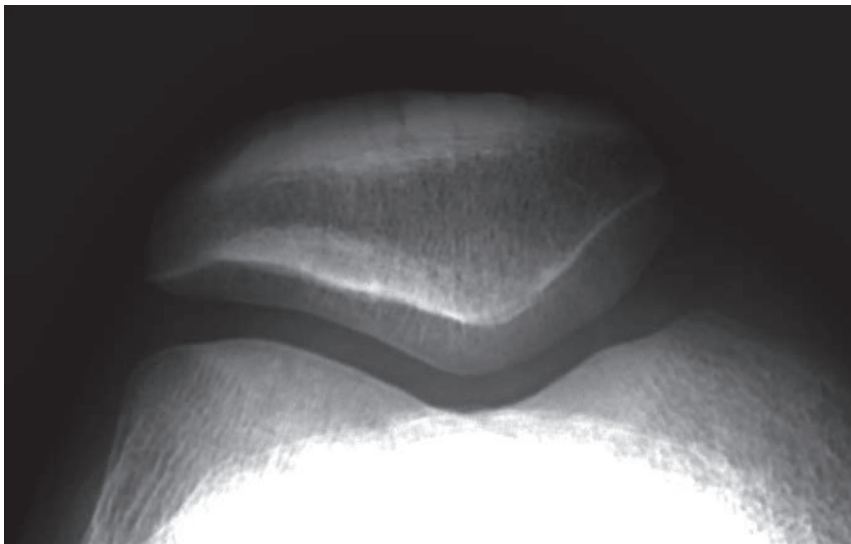
Figura 20 - Incidência lateral do joelho esquerdo.



Localize as seguintes estruturas anatômicas:

Fêmur: epífise distal, face patelar, côndilo medial, côndilo lateral |
Patela | Tíbia: tuberosidade | Fíbula: cabeça da fíbula, colo | Tecidos moles

Figura 21 - Incidência tangencial da patela.



Localize as seguintes estruturas anatômicas:

Fêmur: face patelar, côndilo medial, côndilo lateral | Patela | Tecidos moles

Figura 22 - Incidência lateral do tornozelo direito.



Localize as seguintes estruturas anatômicas:

Tíbia: face articular inferior | Fíbula: maléolo lateral | Calcâneo |
Tálus: cabeça, colo, tróclea | Osso navicular | Tecidos moles

Figura 23 - Incidência anteroposterior do tornozelo esquerdo.



Localize as seguintes estruturas anatômicas:

Tíbia: face articular inferior, maléolo medial | Fíbula: maléolo lateral, fossa do maléolo lateral | Tálus: tróclea | Osso navicular | Ossos do metatarso | Falanges | Tecidos moles

Figura 24 - Incidência lateral do pé direito.



Localize as seguintes estruturas anatômicas:

Tíbia: face articular inferior | Fíbula | Calcâneo | Tálus: cabeça, colo, tróclea | Osso navicular | Ossos do tarso | Ossos metatarsais: base, corpo e cabeça | Hálux: falanges proximal e distal | Tecidos moles

Figura 25 - Incidência dorsoplantar do pé direito.



Localize as seguintes estruturas anatômicas:

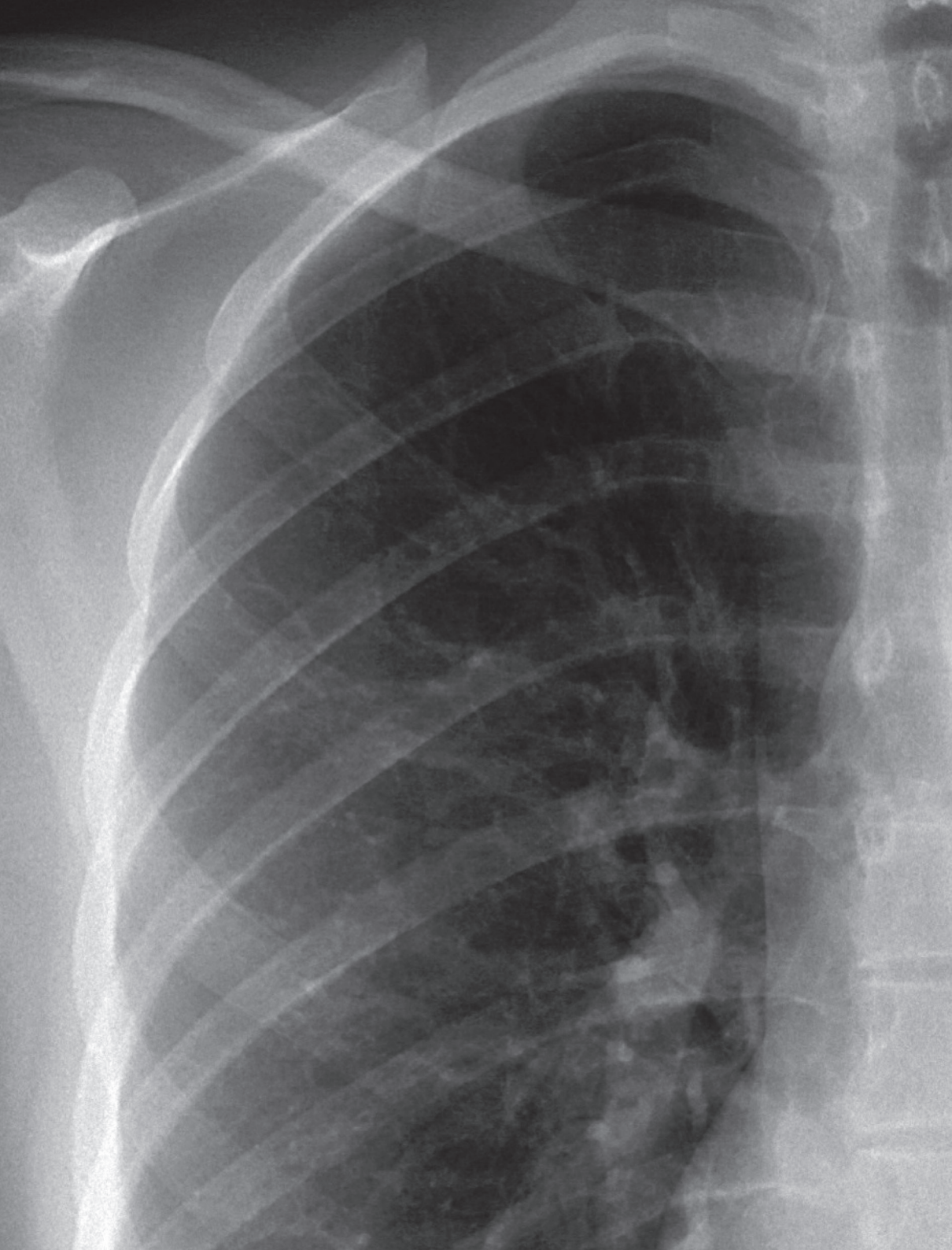
Tíbia | Fíbula | Tálus: cabeça e colo | Osso navicular | Osso cuneiforme medial | Osso cuneiforme intermédio | Osso cuneiforme lateral | Osso cuboide | Ossos metatarsais: base, corpo e cabeça | Falanges: proximais, médias e distais (base, corpo e cabeça) | Ossos sesamoides | Tecidos moles

Figura 26 - Incidência oblíqua do pé direito.



Localize as seguintes estruturas anatômicas:

Osso navicular | Osso cuneiforme medial | Osso cuneiforme intermédio
| Osso cuneiforme lateral | Osso cuboide | Ossos metatarsais: base,
corpo e cabeça | Falanges: proximais, médias e distais (base, corpo e
cabeça) | Ossos sesamoides | Tecidos moles





Anatomia Radiográfica

Créditos das Imagens

Créditos das imagens

Figura 1 - Incidência anteroposterior do crânio.

Fonte: Silva ETT. Arquivo pessoal. 2019.

Figura 2 - Incidência lateral do crânio.

Fonte: Silva ETT. Arquivo pessoal. 2019.

Figura 3 - Incidência panorâmica dos dentes.

Fonte: File: PAN TEETH.jpg [Internet]. 2011 jan 18 [acesso 2019 dez 3]. Disponível em:

https://commons.wikimedia.org/wiki/File: PAN_TEETH.jpg. Figura registrada como domínio público.

Figura 4 - Incidência anteroposterior da coluna cervical.

Fonte: Staff at the Department of Radiology, UC San Diego Health.

File: X-ray of the cervical spine of a 20 year old male – anteroposterior.jpg [Internet]. 2018 mar 14 [acesso 2019 dez 03].

Disponível em: https://commons.wikimedia.org/wiki/File: X-ray_of_the_cervical_spine_of_a_20_year_old_male_-_anteroposterior.jpg. Figura registrada como domínio público.

Figura 5 - Incidência lateral das vértebras lombares.

Modificado de: Fonte: Häggström M. File: Lumbarization of S1 (lateral view).jpg [Internet]. 2017 jan 09 [acesso 2019 dez 04].

Disponível em:

[https://commons.wikimedia.org/wiki/File: Lumbarization_of_S1_\(lateral_view\).jpg](https://commons.wikimedia.org/wiki/File: Lumbarization_of_S1_(lateral_view).jpg). Figura registrada como domínio público.

Figura 6 - Incidência posteroanterior do tórax.

Fonte: Häggström M. File: Normal posteroanterior (PA) chest radiograph (X-ray).jpg [Internet]. 2017 jun 28 [acesso 2019 jul 22].

Disponível em:

[https://commons.wikimedia.org/wiki/File: Normal_posteroanterior_\(PA\)_chest_radiograph_\(X-ray\).jpg](https://commons.wikimedia.org/wiki/File: Normal_posteroanterior_(PA)_chest_radiograph_(X-ray).jpg). Figura registrada como domínio público.

Figura 7 - Incidência posteroanterior de ombro esquerdo.

Fonte: Häggström M. File:Y-projection X-ray of a normal shoulder.jpg [Internet]. 2017 aug 27 [acesso 2019 ago 01]. Disponível em: https://commons.wikimedia.org/wiki/File:Y-projection_X-ray_of_a_normal_shoulder.jpg. Figura registrada como domínio público.

Figura 8 - Incidência anteroposterior do ombro esquerdo.

Fonte: Häggström M. File:X-ray of shoulder with vacum sign.jpg [Internet]. 2018 jan 03 [acesso 2020 jan 06]. Disponível em: https://commons.wikimedia.org/wiki/File:X-ray_of_shoulder_with_vacuum_sign.jpg. Figura registrada como domínio público.

Figura 9 - Incidência lateral de cotovelo esquerdo.

Fonte: Häggström M. File:X-ray of normal elbow by lateral projection.jpg [Internet]. 2017 oct 29 [acesso 2019 jul 29]. Disponível em: https://commons.wikimedia.org/wiki/File:X-ray_of_normal_elbow_by_lateral_projection.jpg. Figura registrada como domínio público.

Figura 10 - Incidência anteroposterior de cotovelo direito.

Fonte: Häggström M. File:X-ray of normal elbow by anteroposterior projection.jpg [Internet]. 2017 oct 29 [acesso 2019 jul 29]. Disponível em: https://commons.wikimedia.org/wiki/File:X-ray_of_normal_elbow_by_anteroposterior_projection.jpg. Figura registrada como domínio público.

Figura 11 - Incidência oblíqua do cotovelo direito.

Modificado de: Fonte: Häggström M. File:X-ray of normal elbow by 30 degrees internal oblique projection.jpg [Internet]. 2017 oct 29 [acesso 2020 jan 07]. Disponível em: https://commons.wikimedia.org/wiki/File:X-ray_of_normal_elbow_by_30_degrees_internal_oblique_projection.jpg. Figura registrada como domínio público.

Figura 12 - Incidência dorsoplantar da mão esquerda.

Fonte: Häggström M. File:X-ray of normal hand by dorsoplantar projection.jpg [Internet]. 2017 oct 29 [acesso 2019 jul 24]. Disponível em: https://commons.wikimedia.org/wiki/File:X-ray_of_normal_hand_by_dorsoplantar_projection.jpg. Figura registrada como domínio público.

Figura 13 - Incidência lateral da mão esquerda.

Fonte: Häggström M. File:X-ray of normal hand by lateral projection.jpg [Internet]. 2017 oct 29 [acesso 2020 jan 06]. Disponível em: https://commons.wikimedia.org/wiki/File:X-ray_of_normal_hand_by_lateral_projection.jpg. Figura registrada como domínio público.

Figura 14 - Incidência oblíqua da mão esquerda.

Fonte: Häggström M. File:X-ray of normal hand by oblique projection.jpg [Internet]. 2017 oct 29 [acesso 2020 jan 07]. Disponível em: https://commons.wikimedia.org/wiki/File:X-ray_of_normal_hand_by_oblique_projection.jpg. Figura registrada como domínio público.

Figura 15 - Incidência dorsoplantar do pulso esquerdo.

Modificado de: Fonte: Häggström M. File:X-ray of normal wrist by dorsoplantar projection.jpg [Internet]. 2017 oct 29 [acesso 2020 jan 07]. Disponível em: https://commons.wikimedia.org/wiki/File:X-ray_of_normal_wrist_by_dorsoplantar_projection.jpg. Figura registrada como domínio público.

Figura 16 - Incidência lateral do pulso esquerdo.

Fonte: Häggström M. File:X-ray of normal wrist by lateral projection (crop).jpg [Internet]. 2017 oct 29 [acesso 2019 dez 16]. Disponível em: [https://commons.wikimedia.org/wiki/File:X-ray_of_normal_wrist_by_lateral_projection_\(crop\).jpg](https://commons.wikimedia.org/wiki/File:X-ray_of_normal_wrist_by_lateral_projection_(crop).jpg). Figura registrada como domínio público.

Figura 17 - Incidência anteroposterior da pelve.

Fonte: Staff at the Department of Radiology, UC San Diego Health. File:X-ray of the pélvis of an 18 year old male – case 1 – anteroposterior.jpg [Internet]. 2018 mar 14 [acesso 2019 dez 03]. Disponível em: https://commons.wikimedia.org/wiki/File:X-ray_of_the_pelvis_of_an_18_year_old_male_-_case_1_-_anteroposterior.jpg. Figura registrada como domínio público.

Figura 18 - Incidência anteroposterior do fêmur esquerdo.

Fonte: Häggström M. File:Left fêmur before myeloma.jpg [Internet]. 2017 dec 18 [acesso 2019 dez 04]. Disponível em: https://en.m.wikipedia.org/wiki/File:Left_femur_before_myeloma.jpg. Figura registrada como domínio público.

Figura 19 - Incidência anteroposterior do joelho direito.

Fonte: Staff at the Department of Radiology, UC San Diego Health. File: X-ray of the knee of a 9 year old female – case 1 – anteroposterior.jpg [Internet]. 2018 mar 14 [acesso 2019 dez 04]. Disponível em: https://commons.wikimedia.org/wiki/File:X-ray_of_the_knee_of_a_9_year_old_female_-_case_1_-_anteroposterior.jpg. Figura registrada como domínio público.

Figura 20 - Incidência lateral do joelho esquerdo.

Fonte: Häggström M. File:X-ray of a normal knee by lateral projection.jpg [Internet]. 2018 jan 05 [acesso 2019 dez 04]. Disponível em: https://commons.wikimedia.org/wiki/File:X-ray_of_a_normal_knee_by_lateral_projection.jpg. Figura registrada como domínio público.

Figura 21 - Incidência tangencial da patela.

Fonte: Häggström M. File:X-ray of a normal patella.jpg [Internet]. 2017 jul 31 [acesso 2020 jan 07]. Disponível em: https://commons.wikimedia.org/wiki/File:X-ray_of_a_normal_patella.jpg. Figura registrada como domínio público.

Figura 22 - Incidência lateral do tornozelo direito.

Fonte: Häggström M. File:X-ray of normal tornozelo – lateral.jpg [Internet]. 2017 nov 09 [acesso 2020 jan 06]. Disponível em: https://commons.wikimedia.org/wiki/File:X-ray_of_normal_ankle_-_lateral.jpg. Figura registrada como domínio público.

Figura 23 - Incidência anteroposterior do tornozelo esquerdo.

Fonte: Staff at the Department of Radiology, UC San Diego Health. File:X-ray of the ankle of a 9 year old female – case 1 – anteroposterior.jpg [Internet]. 2018 mar 14 [acesso 2019 dez 04]. Disponível em: https://commons.wikimedia.org/wiki/File:X-ray_of_the_ankle_of_a_9_year_old_female_-_case_1_-_anteroposterior.jpg. Figura registrada como domínio público.

Figura 24 - Incidência lateral do pé direito.

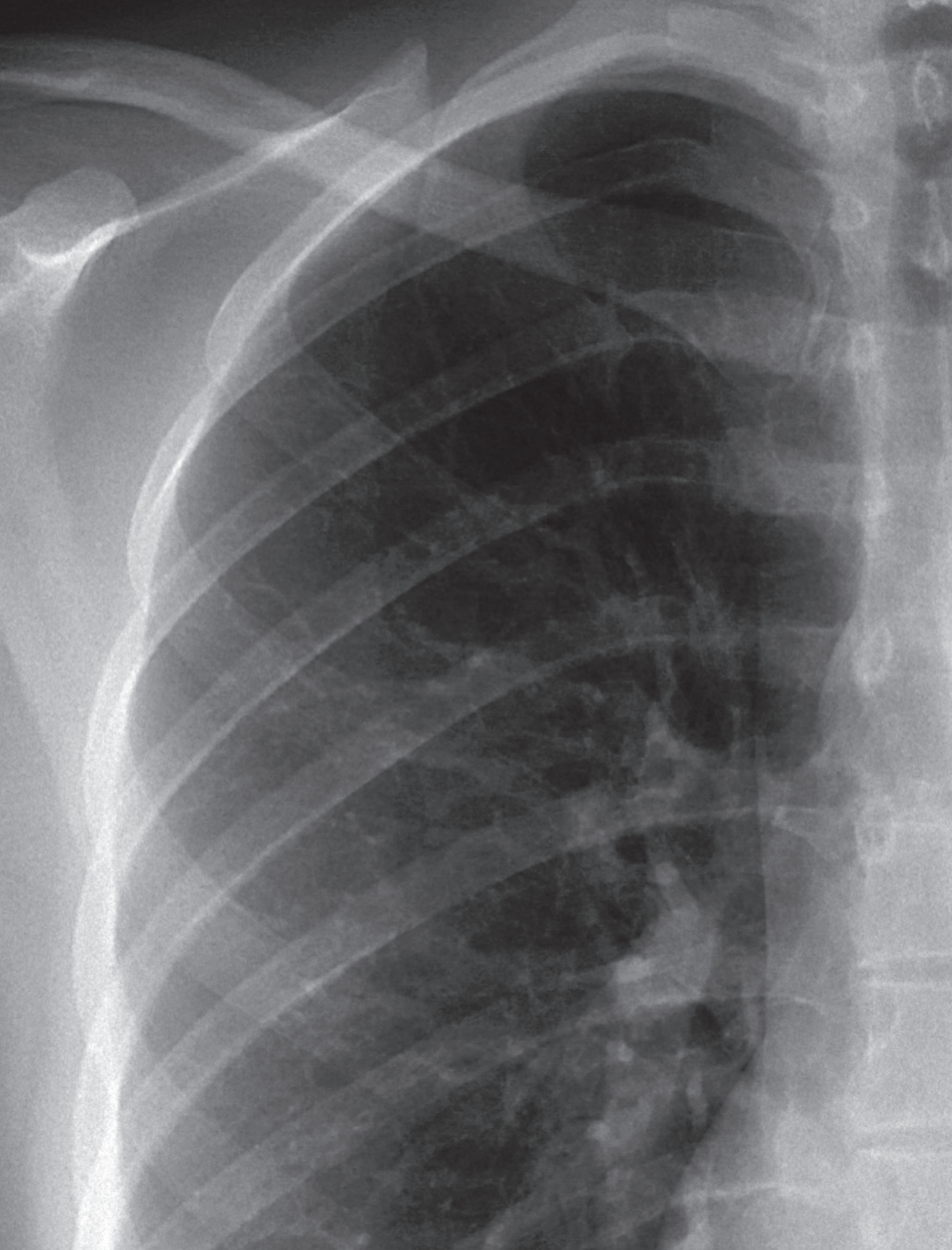
Fonte: Häggström M. File:X-ray of normal right foot by lateral projection.jpg [Internet]. 2017 jul 28 [acesso 2019 dez 04]. Disponível em: https://commons.wikimedia.org/wiki/File:X-ray_of_normal_right_foot_by_lateral_projection.jpg. Figura registrada como domínio público.

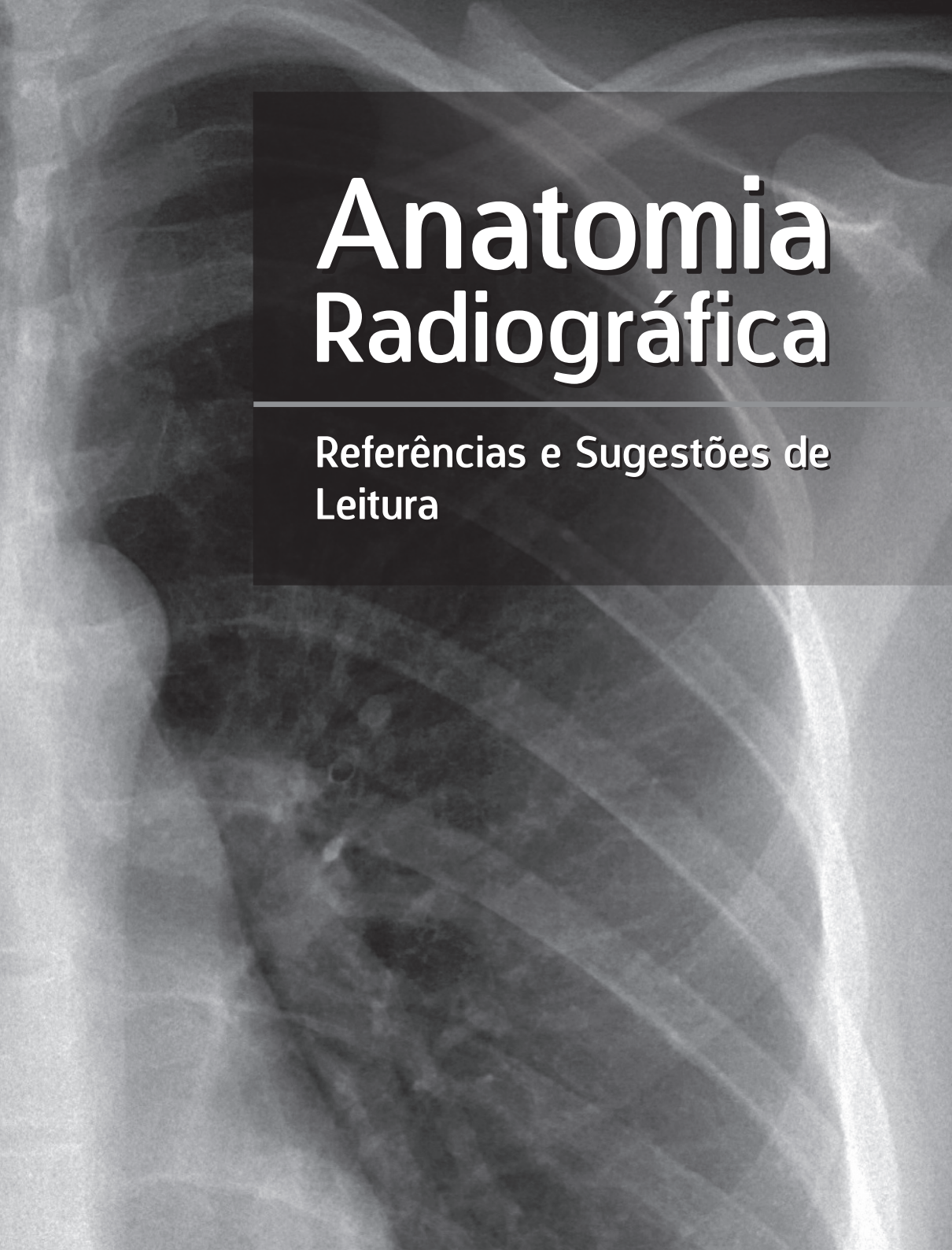
Figura 25 - Incidência dorsoplantar do pé direito.

Fonte: Häggström M. File: X-ray of normal right foot by dorsoplantar projection.jpg [Internet]. 2017 jul 28 [acesso 2019 dez 04]. Disponível em: https://commons.wikimedia.org/wiki/File:X-ray_of_normal_right_foot_by_dorsoplantar_projection.jpg. Figura registrada como domínio público.

Figura 26 - Incidência oblíqua do pé direito.

Fonte: Häggström M. File:X-ray of normal right foot by oblique projection.jpg [Internet]. 2017 jul 28 [acesso 2020 jan 06]. Disponível em: https://commons.wikimedia.org/wiki/File:X-ray_of_normal_right_foot_by_oblique_projection.jpg. Figura registrada como domínio público.





Anatomia Radiográfica

Referências e Sugestões de
Leitura

Referências e sugestões de leitura

- Andrade Filho EP, Pereira FCF. Anatomia Geral. 1ª ed. [Internet]. 2015 [acesso 2019 dez 30]. Disponível em: <https://md.uninta.edu.br/geral/anatomia-geral/pdf/anatomia-geral.pdf>. 366 p.
- Biasoli Júnior A. Técnicas radiográficas: princípios físicos, anatomia básica, posicionamento, radiologia digital, tomografia computadorizada. 2ª ed. Rio de Janeiro: Rubio; 2016. 592 p.
- Bontrager KL. Tratado de técnica radiológica e base anatômica. 5ª ed. Rio de Janeiro: Guanabara Koogan; 2003. 803 p.
- Bontrager KL, Lampignano JP. Tratado de posicionamento radiográfico e anatomia associada. 8ª ed. Rio de Janeiro: Elsevier. 2015. 848 p.
- Moore KL, Agur AMR, Dalley AF. Fundamentos de anatomia clínica. 4ª ed. Rio de Janeiro: Guanabara Koogan; 2013. 720 p.
- Pozzobon A, Pereira GAM, Jung L. Anatomia na prática: sistema musculoesquelético. 1ª ed. Lajeado: Editora Univates; 2015. 228 p.
- Putz R, Pabst R, editores. Sobotta: Atlas de anatomia humana. 21ª ed. Rio de Janeiro: Guanabara Koogan; 2000; Volume 1: Cabeça, pescoço e extremidade superior: 1-417.
- Putz R, Pabst R, editores. Sobotta: Atlas de anatomia humana. 21ª ed. Rio de Janeiro: Guanabara Koogan; 2000; Volume 2: Tronco, vísceras e extremidade inferior: 1-405.
- Teixeira HGC, Junqueira JOG, Alexandre ALS, Madeira DC, Barbosa JP, Ávila PVT. Atlas de anatomia radiográfica [Internet]. 2019 [acesso 2019 jul 22]. Disponível em: <http://www.ufjf.br/anatomia/atlas/atlas-de-anatomia-radiografica/>. 57 p.

Van Putte CL, Regan JL, Russo AF, Seeley R, Stephens T, Tate
P. Anatomia e fisiologia de Seeley. 10ª ed. Porto Alegre: AMGH;
2016: 1267 p.

Este livro foi concebido como um material de apoio pedagógico no processo de aprendizagem de Anatomia Humana.

Por meio de uma investigação de exames radiográficos, alunos de diferentes níveis de ensino poderão relembrar e memorizar ossos e acidentes ósseos do corpo humano.

canal6 editora

ISBN 978-65-86030-01-3



9 78 65 86030 01 3